

銀河形成シミュレーションに向けた SPH 法の実装

大滝恒輝

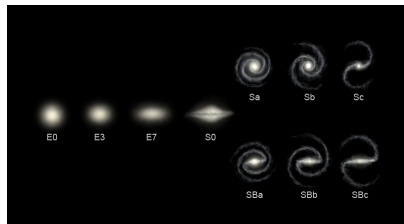
筑波大学理工学群物理学類 宇宙理論研究室 4 年

2018/11/02

導入

銀河形成のキーワード

- ダークマター
- 超新星爆発
- 重元素の合成
- 銀河の合体
- 星形成



断熱的に進んでも星ができない

冷却の効果を入りたい！

目次

1. 導入
2. 放射冷却
 - 冷却関数
 - Exact Integration Scheme
3. SPH 法
 - 基礎方程式
 - テスト問題
4. まとめ

流体力学の基礎方程式

連続の式 $\frac{d\rho}{dt} = -\rho \nabla \cdot \mathbf{v}$

運動方程式 $\frac{d\mathbf{v}}{dt} = -\frac{1}{\rho} \nabla p$

エネルギー方程式 $\frac{du}{dt} = -\frac{p}{\rho} \nabla \cdot \mathbf{v} - \frac{n_{\mathrm{H}}^2 \Lambda}{\rho}$

状態方程式 $p = (\gamma - 1) \rho u$

ρ : 密度

\mathbf{v} : 速度

p : 圧力

u : 単位質量あたりの
内部エネルギー

Λ : 冷却率

γ : 比熱比

冷却の方程式を正しく解ける

Exact Integration scheme に注目

(Townsend 2009)

原始元素組成の冷却過程

水素とヘリウム主な冷却過程

冷却過程	元素	冷却率 ($\text{ergs s}^{-1} \text{cm}^{-3}$)
衝突励起	H^0	$7.50 \times 10^{-19} e^{-118348.0/T} (1 + T_5^{1/2})^{-1} n_e n_{\text{H}^0}$
	He^+	$5.54 \times 10^{-17} T^{-0.397} e^{-473638.0/T} (1 + T_5^{1/2})^{-1} n_e n_{\text{He}^+}$
衝突電離	H^0	$1.27 \times 10^{-21} T^{1/2} e^{-157809.1/T} (1 + T_5^{1/2})^{-1} n_e n_{\text{H}^0}$
	He^0	$9.38 \times 10^{-22} T^{1/2} e^{-285335.4/T} (1 + T_5^{1/2})^{-1} n_e n_{\text{He}^0}$
	He^+	$4.95 \times 10^{-22} T^{1/2} e^{-631515.0/T} (1 + T_5^{1/2})^{-1} n_e n_{\text{He}^+}$
再結合	H^+	$8.70 \times 10^{-27} T^{1/2} T_3^{-0.2} (1 + T_6^{0.7})^{-1} n_e n_{\text{H}^+}$
	He^+	$1.55 \times 10^{-26} T^{0.3647} n_e n_{\text{He}^+}$
	He^{++}	$3.48 \times 10^{-26} T^{1/2} T_3^{-0.2} (1 + T_6^{0.7})^{-1} n_e n_{\text{He}^{++}}$
二電子性再結合	He^+	$1.24 \times 10^{-13} T^{-1.5} e^{470000.0/T} (1 + 0.3e^{-94000.0/T}) n_e n_{\text{He}^+}$
制動放射	All ions	$1.42 \times 10^{-27} g_{ff} T^{1/2} (n_{\text{H}^+} + n_{\text{He}^+} + 4n_{\text{He}^{++}}) n_e$

(Katz, Weinberg, & Hernquist 1996)

原始元素組成の冷却率

冷却率は、それぞれの元素の数密度と電子の数密度に比例する。
今回は輻射場がなく、イオン化平衡の場合を仮定する。

- イオン化平衡

$$\begin{aligned}\Gamma_{\text{H}_0} n_e n_{\text{H}_0} &= \alpha_{\text{H}+} n_{\text{H}+} n_e \\ \Gamma_{\text{He}_0} n_{\text{He}_0} n_e &= (\alpha_{\text{He}+} + \alpha_d) n_{\text{He}+} n_e \\ \alpha_{\text{He}++} n_{\text{He}++} n_e &= \Gamma_{\text{He}+} n_{\text{He}+} n_e\end{aligned}$$

- 数保存式

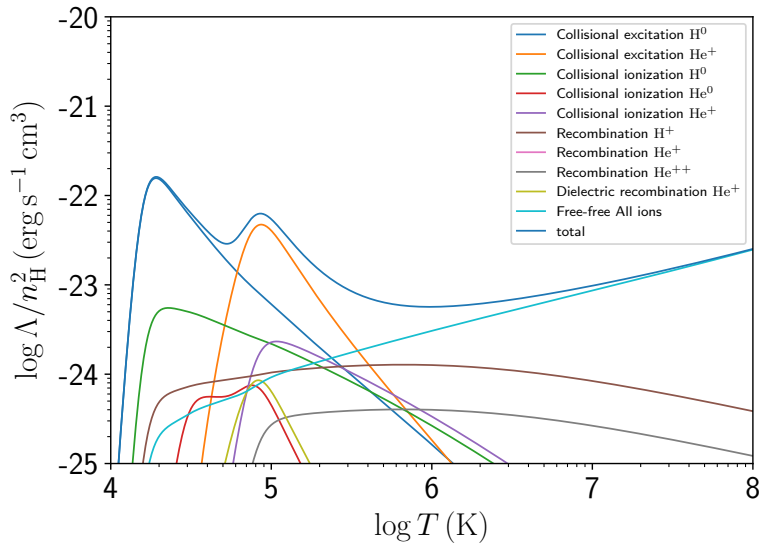
$$\begin{aligned}n_{\text{H}+} &= n_{\text{H}} - n_{\text{H}_0} \\ n_e &= n_{\text{H}+} + n_{\text{He}+} + 2n_{\text{He}++} \\ \frac{n_{\text{He}_0} + n_{\text{He}+} + n_{\text{He}++}}{n_{\text{H}}} &= \frac{Y}{4 - 4Y}\end{aligned}$$

Γ : 衝突電離率, α : 再結合率, Y : ヘリウムの存在比 = 0.24

これらの関係式より冷却率は n_{H}^2 に比例する。

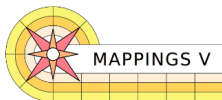
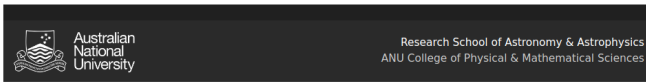
原始元素組成の冷却関数

(Katz, Weinberg, & Hernquist 1996)



MAPPINGS V

Sutherland et al. が開発した冷却関数計算のオープンソースコード
元素の存在比を決定し、計算された冷却率をダウンロードできる。
ソフトウェアのインストールも可



An astrophysical plasma modelling code.

The MAPPINGS V Code Archive

<https://mappings.anu.edu.au/code>

<https://bitbucket.org/RalphSutherland/mappings>

Science and Programming:

Ralph Sutherland, Mike Dopita, David Nicholls, Brent Groves, Luc Binette, et al

Current MAPPINGS Version V 5.1.13

v5.1.13, June 2017

[Download mappings_V-5113.zip \(216.6MB\)](#) : Everything including stellar/agn atmospheres.

SHA256 digest: a45f835b62ee744dc3928aabdffa535342ace3708b1840153259ed95a5b5960d9

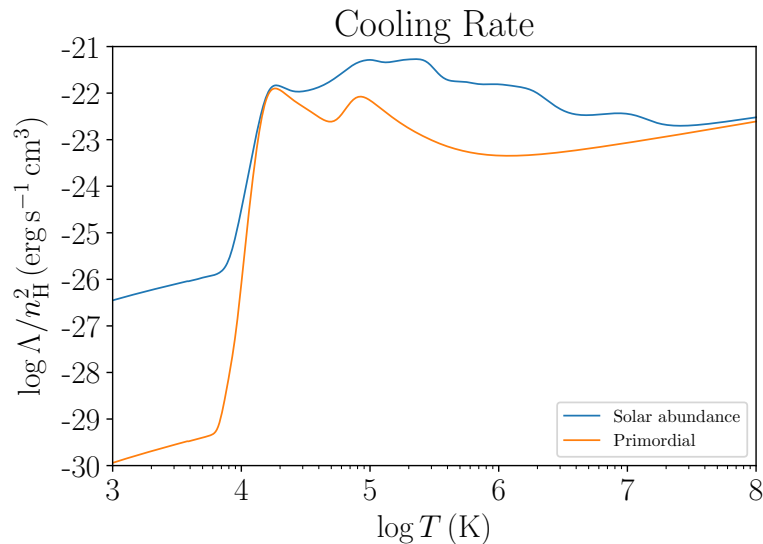
`'https://mappings.anu.edu.au/code'`

`'https://bitbucket.org/`

`RalphSutherland/mappings'`

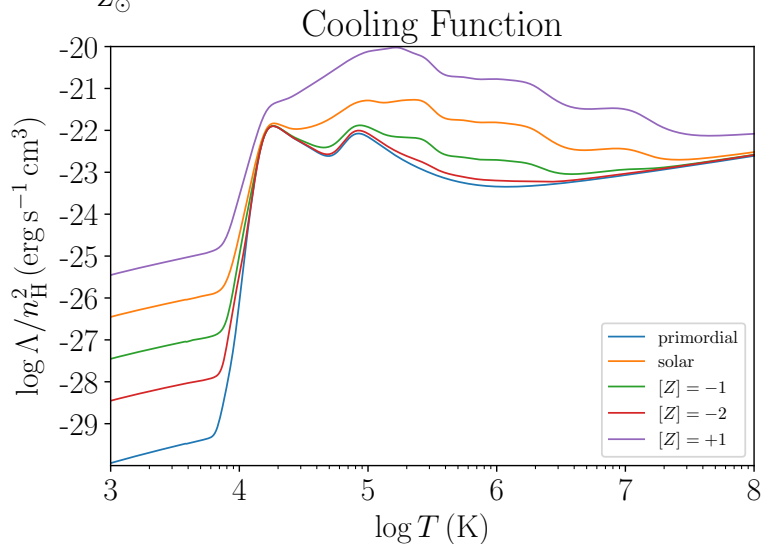
冷却関数 (MAPPINGS V)

MAPPINGS V で計算された Solar abundances と Primordial の冷却率



冷却関数の metallicity $[Z]$ 依存性

$$[Z] = \log \frac{Z}{Z_{\odot}}$$



Exact Integration scheme(EI scheme)

EI scheme を導入

$$\frac{dP}{dt} - \frac{\gamma P}{\rho} \frac{d\rho}{dt} = -(\gamma - 1)n_{\text{H}}^2 \Lambda(T)$$

理想気体の状態方程式 $P = nkT$ を代入し、冷却項のみを書くと、

$$\left. \frac{dT}{dt} \right|_{\text{cool}} = -\frac{(\gamma - 1)\rho\mu}{k\mu_{\text{H}}^2} \Lambda(T)$$

n : 全粒子数密度, k : ボルツマン定数

変数分離し、両辺積分すると

$$\int_{T^n}^{T^{n+1}} \frac{dT}{\Lambda(T)} = -\frac{(\gamma - 1)\rho\mu}{k\mu_{\text{H}}^2} \Delta t$$

Exact Integration scheme(EI scheme)

無次元の時間発展関数 $Y(T)$ を定義

$$Y(T) = \frac{\Lambda(T_{\text{ref}})}{T_{\text{ref}}} \int_T^{T_{\text{ref}}} \frac{dT'}{\Lambda(T')}$$

代入し積分区間を $[T^n, T_{\text{ref}}], [T_{\text{ref}}, T^{n+1}]$ と分けると

$$\frac{T_{\text{ref}}}{T^n} \frac{\Lambda(T^n)}{\Lambda_{\text{ref}}} [Y(T^n) - Y(T^{n+1})] = -\frac{\Delta t}{t_{\text{cool}}}, \quad t_{\text{cool}} \equiv \frac{k\mu_{\text{H}}^2 T^n}{(\gamma - 1)\rho\mu\Lambda(T^n)}$$

時間発展後の温度は

$$T^{n+1} = Y^{-1} \left[Y(T^n) + \frac{T^n}{T_{\text{ref}}} \frac{\Lambda_{\text{ref}}}{\Lambda(T^n)} \frac{\Delta t}{t_{\text{cool}}} \right]$$

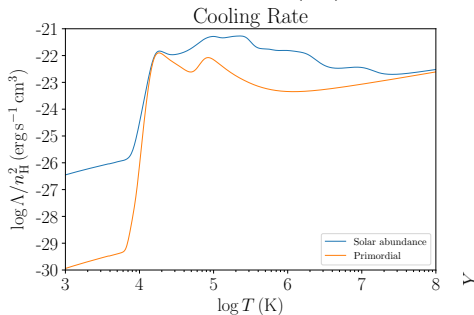
冷却関数は温度領域に N 等分し、Piecewise Power Law で fitting

$$\Lambda(T) = \Lambda_k \left(\frac{T}{T_k} \right)^{\alpha_k}, \quad T_k \leq T \leq T_{k+1}$$

それぞれの温度領域 $T_k \leq T \leq T_{k+1}$ における Λ_k, α_k, Y_k を計算し、テーブルとして準備。時間発展後、線形補間することにより、 T^{n+1} がすぐに求まる。

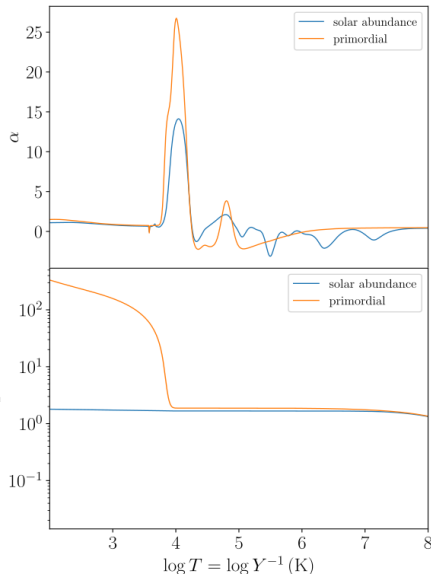
Exact Integration scheme(EI scheme)

$$\Lambda(T) = \Lambda_k \left(\frac{T}{T_k} \right)^{\alpha_k}$$



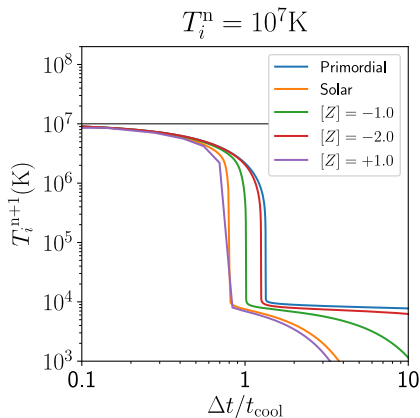
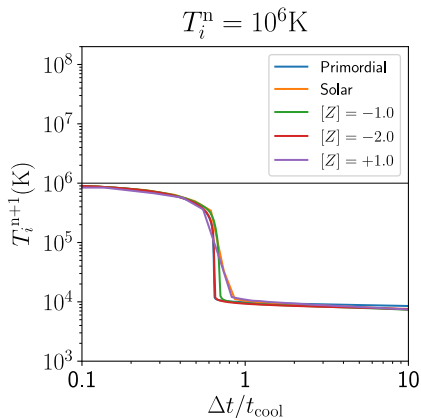
$$Y(T) = \frac{\Lambda(T_{\text{ref}})}{T_{\text{ref}}} \int_T^{T_{\text{ref}}} \frac{dT'}{\Lambda(T')}$$

$$T^{n+1} = Y^{-1} \left[Y(T^n) + \frac{T^n}{T_{\text{ref}}} \frac{\Lambda_{\text{ref}}}{\Lambda(T^n)} \frac{\Delta t}{t_{\text{cool}}} \right]$$



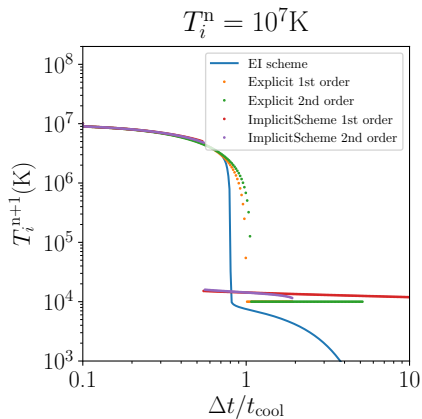
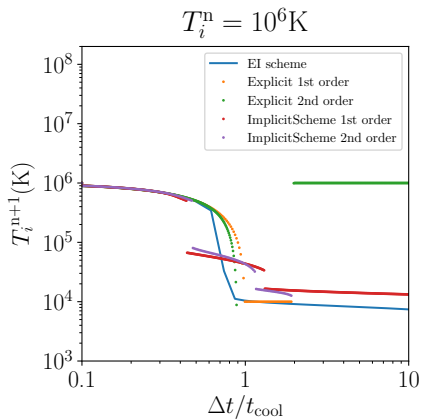
EI scheme の評価

- 初期温度 T_i^n から **1 ステップ** 時間発展させる。
- t_{cool} に対して、タイムステップ Δt を変化させる。



EI scheme の評価

陽解法 (1 次・2 次)、陰解法 (1 次・2 次) との比較 (Solar abundances)



ここまでのまとめ

El scheme は、

- 領域を分割することで正しく解ける
- どんな冷却関数でも解ける
- t_{cool} よりも大きなタイムステップでも解ける

この El scheme を宇宙流体シミュレーションに組み込みたい

Smoothed Particle Hydrodynamics (SPH)
法に注目！

Smoothed Particle Hydrodynamics(SPH) 法

Lucy(1977) と Gingold&Monaghan(1977) により開発された圧縮性流体の数値計算法

- 流体を粒子によって離散化
- 重力相互作用との組み合わせが簡単

SPH 粒子それぞれが持つ質量、密度を m, ρ とすると、 $d^3r \sim m/\rho$ と離散化できる。 i 番目の粒子の持つ物理量は

$$F(\mathbf{r}_i) = \sum_j \frac{m_j}{\rho_j} F_j W(|\mathbf{r}_i - \mathbf{r}_j|, h)$$
$$\nabla_i F(\mathbf{r}_i) = \sum_j \frac{m_j}{\rho_j} F_j \nabla_i W(|\mathbf{r}_i - \mathbf{r}_j|, h)$$

カーネル関数は Gauss 関数を用いた ($q = r/h$, ν 次元)

$$W(r, h) = \frac{1}{(h\sqrt{\pi})^\nu} \exp(-q^2)$$

SPH 法の基本方程式

流体力学の方程式は以下のように表せる (Springel & Hernquist 2002)

$$\frac{d\mathbf{v}_i}{dt} = - \sum_j m_j \left[f_i \frac{p_i}{\rho_i^2} \nabla_i W_{ij}(h_i) + f_j \frac{p_j}{\rho_j^2} \nabla_i W_{ij}(h_j) \right]$$

$$\frac{du_i}{dt} = f_i \frac{p_i}{\rho_i^2} \sum_j m_j \mathbf{v}_{ij} \cdot \nabla W_{ij}(h), \quad \mathbf{v}_{ij} = \mathbf{v}_i - \mathbf{v}_j$$

$$f_i = \left(1 + \frac{h_i}{\nu \rho_i} \frac{\partial \rho_i}{\partial h_i} \right)^{-1} \quad (\text{grad-}h \text{ term})$$

衝撃波を解くための人工粘性 (Monaghan 1997)

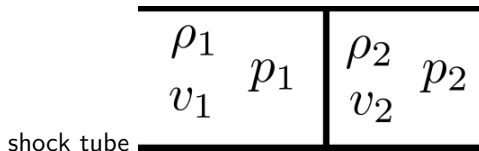
$$\Pi_{ij} = \begin{cases} -\alpha \frac{v_{ij}^{\text{sig}} \omega_{ij}}{\rho_i + \rho_j} & \mathbf{v}_{ij} \cdot \mathbf{r}_{ij} < 0 \\ 0 & \mathbf{v}_{ij} \cdot \mathbf{r}_{ij} \geq 0 \end{cases}$$

$$v_{ij}^{\text{sig}} \equiv c_i + c_j - 3\omega_{ij}, \quad \omega_{ij} \equiv \mathbf{v}_{ij} \cdot \mathbf{r}_{ij} / |\mathbf{r}_{ij}|$$

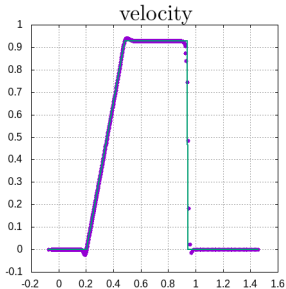
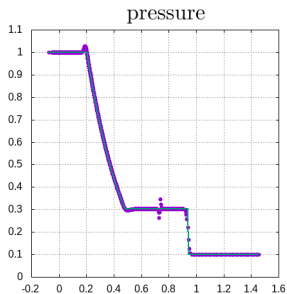
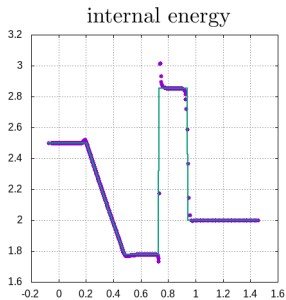
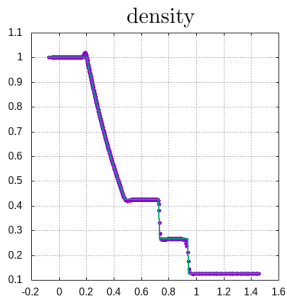
一次元 shock tube 問題

- 異なる密度、圧力、速度を持つ流体 1 と流体 2 が薄膜で仕切られている。
- $t = 0$ で仕切りを外した後の流体の時間発展を求める。
- 解析解は Riemann 問題を解くことで求められる。

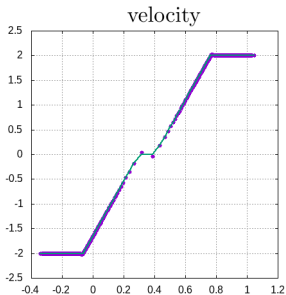
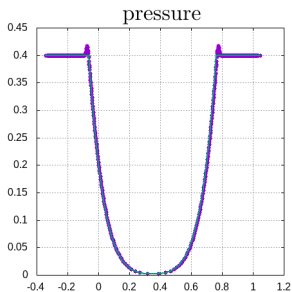
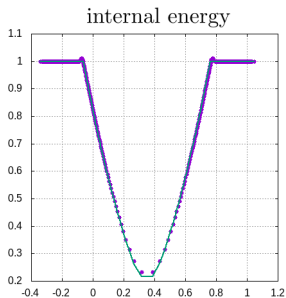
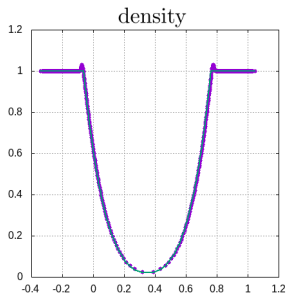
Test	ρ_1	v_1	p_1	ρ_2	v_2	p_2
1	1.0	0.0	1.0	0.125	0.0	0.1
2	1.0	-2.0	0.4	1.0	2.0	0.4



Test 1 (Sod test)



Test 2 (123 test)



まとめ

- El scheme の実装
 - どんな冷却関数でも正しく解ける
 - 大きなタイムステップでも解ける
- SPH の実装
 - 衝撃波と膨張波が解けた
 - 接触不連続面での非物理的な圧力ジャンプが発生

今後の方針

- SPH 法に El scheme を導入
- 冷却効果の入った SPH 法を評価 (冷却入りの 3 次元流体力学の test 問題を計算)
- 圧力ジャンプの修正のために Godonov SPH 法へ